

О зависимости сложности и глубины
 обратимых схем, состоящих из
 функциональных элементов NOT, CNOT и
 2-CNOT, от количества дополнительных
 ВХОДОВ

General Upper Bounds for Gate Complexity and
 Depth of Reversible Circuits Consisting of NOT,
 CNOT and 2-CNOT Gates

Д. В. Закаблукров*
 Dmitry V. Zakablukov†

27 августа 2021 г.

УДК 004.312, 519.7

Исследование выполнено при финансовой поддержке РФФИ в рамках
 научного проекта № 16-01-00196 А.

Аннотация

В работе рассматривается вопрос сложности и глубины обратимых схем, состоящих из функциональных элементов NOT, CNOT и 2-CNOT, в условиях ограничения на количество используемых дополнительных входов. Изучаются функции Шеннона сложности $L(n, q)$ и глубины $D(n, q)$ обратимой схемы, реализующей отображение $f: \mathbb{Z}_2^n \rightarrow \mathbb{Z}_2^n$, при условии, что количество дополнительных входов q находится в диапазоне $8n < q \lesssim n2^{n-o(n)}$. Доказываются верхние оценки $L(n, q) \lesssim 2^n + 8n2^n / (\log_2(q - 4n) - \log_2 n - 2)$ и $D(n, q) \lesssim 2^{n+1}(2, 5 + \log_2 n - \log_2(\log_2(q - 4n) - \log_2 n - 2))$ для указанного диапазона значений q .

The paper discusses the gate complexity and the depth of reversible circuits consisting of NOT, CNOT and 2-CNOT gates in the case, when the number of additional inputs is limited. We study Shannon's gate

*Аспирант МГТУ им. Н.Э. Баумана, кафедра «Информационная безопасность», г. Москва, e-mail: dmitriy.zakablukov@gmail.com

†Post-graduate of Information Security Chair, BMSTU, Moscow, e-mail: dmitriy.zakablukov@gmail.com

complexity function $L(n, q)$ and depth function $D(n, q)$ for a reversible circuit implementing a Boolean transformation $f: \mathbb{Z}_2^n \rightarrow \mathbb{Z}_2^n$ with $8n < q \lesssim n2^{n-o(n)}$ additional inputs. The general upper bounds $L(n, q) \lesssim 2^n + 8n2^n / (\log_2(q - 4n) - \log_2 n - 2)$ and $D(n, q) \lesssim 2^{n+1}(2, 5 + \log_2 n - \log_2(\log_2(q - 4n) - \log_2 n - 2))$ are proved for this case.

Ключевые слова: обратимые схемы, сложность схемы, глубина схемы, вычисления с памятью.

Keywords: reversible logic, gate complexity, circuit depth, computations with memory.

Введение

Теория схемной сложности берет свое начало с работы Шеннона [1], в которой было предложено в качестве меры сложности булевой функции рассматривать сложность реализующей ее минимальной контактной схемы.

О. Б. Лупановым установлена [2] асимптотика сложности $L(n) \sim \rho 2^n / n$ булевой функции от n переменных в произвольном конечном полном базисе элементов с произвольными положительными весами, где ρ обозначает минимальный приведенный вес элементов базиса. Также в работе [3] им были рассмотрены схемы из функциональных элементов с задержками и было доказано, что в регулярном базисе функциональных элементов любая булева функция может быть реализована схемой, имеющей задержку $T(n) \sim \tau n$, где τ — минимум приведенных задержек всех элементов базиса, при сохранении асимптотически оптимальной сложности. Однако вопрос зависимости значений функций $L(n)$ и $T(n)$ от количества используемых регистров памяти в данных работах не рассматривался.

Вопрос о вычислениях с ограниченной памятью был рассмотрен Н. А. Карповой в работе [4], где доказано, что в базисе классических функциональных элементов, реализующих все p -местные булевы функции, асимптотическая оценка функции Шеннона сложности схемы с тремя и более регистрами памяти зависит от значения p , но не изменяется при увеличении количества используемых регистров памяти.

В данной работе рассматриваются схемы, состоящие из обратимых функциональных элементов NOT, CNOT и 2-CNOT. Определение таких функциональных элементов и схем было дано, например, в работах [5, 6, 7]. Функции Шеннона сложности $L(n, q)$ и глубины $D(n, q)$ обратимой схемы, состоящей из элементов NOT, CNOT и 2-CNOT и реализующей некоторое булево отображение $\mathbb{Z}_2^n \rightarrow \mathbb{Z}_2^n$ с использованием q дополнительных входов, были определены в работах [8, 9].

В работе [8] были получены следующие оценки сложности обратимой схемы:

$$L(n, 0) \asymp n2^n / \log_2 n ,$$

$$L(n, q_0) \asymp 2^n \text{ при } q_0 \sim n2^{n - \lceil n / \phi(n) \rceil} ,$$

где $\phi(n) \leq n / (\log_2 n + \log_2 \psi(n))$ и $\psi(n)$ — любые сколь угодно медленно растущие функции.

В работе [9] были получены следующие оценки глубины обратимой схемы:

$$D(n, q) \geq \frac{2^n(n-2)}{3(n+q)\log_2(n+q)} - \frac{n}{3(n+q)},$$

$$D(n, 0) \leq \frac{n2^{n+5}}{\psi(n)}(1 + \varepsilon(n)),$$

где $\psi(n) = \log_2 n - \log_2 \log_2 n - \log_2 \phi(n)$, $\phi(n) < n / \log_2 n$ — любая сколь угодно медленно растущая функция,

$$\varepsilon(n) = \frac{1}{4\phi(n)} + (4 + o(1)) \frac{\log_2 n \cdot \log_2 \log_2 n}{n}.$$

Для схем с дополнительными входами были получены следующие оценки глубины обратимой схемы:

$$D(n, q_1) \lesssim 3n \text{ при } q_1 \sim 2^n, \quad (1)$$

$$D(n, q_2) \lesssim 2n \text{ при } q_2 \sim \phi(n)2^n,$$

где $\phi(n) = o(n)$ — любая сколь угодно медленно растущая функция.

Таким образом, на сегодняшний день известны оценки сложности и глубины обратимой схемы только в двух крайних случаях: когда в схеме совсем не используются дополнительные входы и когда их количество весьма велико. В данной работе при помощи алгоритма синтеза, основанного на стандартном методе О.Б. Лупанова, доказывается, что для любого значения q в диапазоне $8n < q \lesssim n2^{n-o(n)}$ верны соотношения $L(n, q) \lesssim 2^n + 8n2^n / (\log_2(q-4n) - \log_2 n - 2)$ и $D(n, q) \lesssim 2^{n+1}(2, 5 + \log_2 n - \log_2(\log_2(q-4n) - \log_2 n - 2))$.

1 Основные понятия

Определение обратимых функциональных элементов, в частности NOT и k -CNOT, можно найти в работах [5, 6, 7]. Мы будем пользоваться формальным определением этих элементов из работы [8].

Напомним, что через N_j^n обозначается функциональный элемент NOT (инвертор) с n входами, задающий преобразование $\mathbb{Z}_2^n \rightarrow \mathbb{Z}_2^n$ вида

$$f_j(\langle x_1, \dots, x_n \rangle) = \langle x_1, \dots, x_j \oplus 1, \dots, x_n \rangle.$$

Через $C_{i_1, \dots, i_k; j}^n = C_{I; j}^n$, $j \notin I$, обозначается функциональный элемент k -CNOT с n входами (контролируемый инвертор, обобщенный элемент Тоффоли с k контролирующими входами), задающий преобразование $\mathbb{Z}_2^n \rightarrow \mathbb{Z}_2^n$ вида

$$f_{i_1, \dots, i_k; j}(\langle x_1, \dots, x_n \rangle) = \langle x_1, \dots, x_j \oplus x_{i_1} \wedge \dots \wedge x_{i_k}, \dots, x_n \rangle.$$

Будем рассматривать только функциональные элементы NOT, CNOT (1-CNOT) и 2-CNOT и обратимые схемы, состоящие из них.

Через $L(\mathfrak{S})$, $D(\mathfrak{S})$ и $Q(\mathfrak{S})$ будем обозначать сложность обратимой схемы \mathfrak{S} , ее глубину и количество дополнительных входов соответственно. Функции Шеннона сложности $L(n, q)$ и глубины $D(n, q)$ обратимой схемы, состоящей из элементов NOT, CNOT и 2-CNOT и реализующей некоторое булево отображение $\mathbb{Z}_2^n \rightarrow \mathbb{Z}_2^n$ с использованием q дополнительных входов, были определены в работах [8, 9].

Значимыми входами схемы будем называть все входы, не являющиеся дополнительными, а значимыми выходами — те выходы, значения на которых нужны для дальнейших вычислений.

2 Зависимость сложности обратимой схемы от количества дополнительных входов

Рассмотрим обратимую схему \mathfrak{S}_n на рис. 1, реализующую все конъюнкции n переменных вида $x_1^{a_1} \wedge \dots \wedge x_n^{a_n}$, $a_i \in \mathbb{Z}_2$. Схема имеет n значимых входов и 2^n значимых выходов; в нее входят подсхемы $\mathfrak{S}_{\lceil n/2 \rceil}$ и $\mathfrak{S}_{\lfloor n/2 \rfloor}$, реализующие конъюнкции от меньшего числа переменных. Если все 2^n конъюнкций на значимых выходах основной схемы реализовать одновременно, а не по мере необходимости, то $L(\mathfrak{S}_n) \sim 2^n$ и $Q(\mathfrak{S}_n) \sim 2^n$, как было доказано в работе [8, Лемма 1]. С другой стороны, мы можем конструировать конъюнкции по мере необходимости по одной, а не все сразу, используя только лишь значимые выходы подсхем $\mathfrak{S}_{\lceil n/2 \rceil}$ и $\mathfrak{S}_{\lfloor n/2 \rfloor}$ и всего один дополнительный вход, который и будет хранить значение нужной нам конъюнкции. После того, как все необходимые операции с этим значимым выходом будут осуществлены, мы можем его обнулить, применив те же функциональные элементы, что и для его получения, но в обратном порядке. Таким образом, в рассматриваемом нами случае для получения каждой конъюнкции потребуется не более двух элементов 2-CNOT, а для получения t конъюнкций (последовательно, по мере необходимости) — не более $2t$ элементов 2-CNOT. Следовательно, $L(\mathfrak{S}_n) \lesssim O(2^{n/2}) + 2t$, $Q(\mathfrak{S}_n) \lesssim O(2^{n/2}) + 1$. Такой же подход можно применить к подсхемам $\mathfrak{S}_{\lceil n/2 \rceil}$ и $\mathfrak{S}_{\lfloor n/2 \rfloor}$, а также к подсхемам этих подсхем.

Если вообще не хранить промежуточных значений, а конструировать конъюнкции по мере необходимости, имея лишь входы $x_1, \dots, x_n, \bar{x}_1, \dots, \bar{x}_n$, то для получения каждой конъюнкции $x_1^{a_1} \wedge \dots \wedge x_n^{a_n}$, очевидно, потребуется не более $2(n-1)$ элементов 2-CNOT, а дополнительных входов потребуются всего $(n-1)$ на все конъюнкции. К примеру, на рис. 2 показан пример конструирования конъюнкции $\bar{x}_1 \bar{x}_2 \bar{x}_3 x_4 x_5 \bar{x}_6 x_7 x_8$ с использованием промежуточных значений $\bar{x}_1 \bar{x}_2$, $\bar{x}_3 x_4$, $x_5 \bar{x}_6$ и $x_7 x_8$ и последующем обнулении значений на незначимых выходах.

Рассмотрим в общем случае обратимую схему $\mathfrak{S}_{CONJ(n,q)}$, которая реализует конъюнкции n переменных вида $x_1^{a_1} \wedge \dots \wedge x_n^{a_n}$, $a_i \in \mathbb{Z}_2$, при усло-

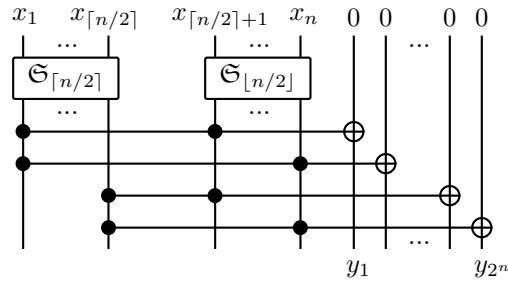


Рис. 1: Структура обратимой схемы, реализующей все конъюнкции от n переменных с минимальной сложностью (входы схемы сверху).

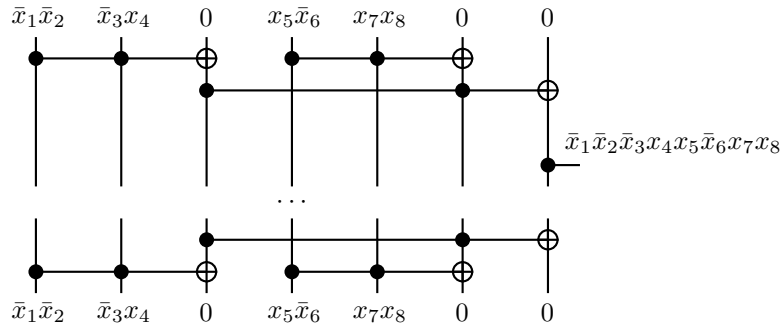


Рис. 2: Пример конструирования конъюнкции с использованием промежуточных значений и последующим обнулением значений на незначимых выходах (входы схемы сверху).

вии, что для хранения промежуточных значений отведено q дополнительных входов, а значения $\bar{x}_1, \dots, \bar{x}_n$ уже получены ранее. Обозначим через $L_{CONJ}(n, q, t)$ сложность схемы $\mathfrak{S}_{CONJ}(n, q)$, реализующей по мере необходимости t конъюнкций, не обязательно различных, причем значение t может быть любым, в том числе больше 2^n . Также обозначим через $Q_{CONJ}(n, q, t)$ общее количество необходимых дополнительных входов для такой обратной схемы. Из рассуждений выше можно вывести следующие простые оценки:

$$L_{CONJ}(n, 0, t) \leq 2(n-1)t, \quad (2)$$

$$Q_{CONJ}(n, 0, t) = n-1. \quad (3)$$

Для $q_0 \sim \lceil n/2 \rceil + \lfloor n/2 \rfloor$ верны соотношения

$$L_{CONJ}(n, q_0, t) \leq q_0 + 2t,$$

$$Q_{CONJ}(n, q_0, t) \leq q_0 + 1.$$

Выведем зависимость значения функции $L_{CONJ}(n, q, t)$ от значения q .

Лемма 1. *Для любого значения $q > 2n$, $q \lesssim 2^n$ верны соотношения*

$$L_{CONJ}(n, q, t) \leq q + \frac{8nt}{\log_2 q - \log_2 n - 1}, \quad (4)$$

$$Q_{CONJ}(n, q, t) \leq q + n - 1. \quad (5)$$

Доказательство. Соотношение $Q_{CONJ}(n, q, t) \leq q + n - 1$ следует из соотношения (3).

Рассмотрим структуру искомой обратной схемы $\mathfrak{S}_{CONJ}(n, q)$ на рис. 3: она разбита на $K = \lceil \log_2 n \rceil$ уровней, нумерация ведется снизу вверх. На уровне номер k расположены 2^{k-1} обратимых подсхем, все они имеют примерно одинаковое количество значимых входов и выходов и реализуют все конъюнкции от некоторого подмножества переменных x_1, \dots, x_n , причем подмножества для разных схем одного уровня не пересекаются, их объединение равно всему множеству $\{x_1, \dots, x_n\}$, а мощности данных подмножеств примерно равны.

Для пояснения структуры схемы \mathfrak{S}_{CONJ} рассмотрим частный ее случай для $n = 7$. Схема имеет $K = 3$ уровня, каждый ее уровень расписан в Таблице 1. Из данной таблицы видно, что если некоторая подсхема $\mathfrak{S}_{k;i}$ на уровне k имеет 2^m значимых выходов, то на уровне $(k+1)$ есть ровно две подсхемы $\mathfrak{S}_{k+1;j}$ и $\mathfrak{S}_{k+1;j+1}$, подключенные к ней, первая из которых имеет $2^{\lfloor m/2 \rfloor}$ значимых выходов, а вторая — $2^{\lceil m/2 \rceil}$ значимых выходов. Структура подсхемы $\mathfrak{S}_{k;i}$ проста: она реализует конъюнкции каждого значимого выхода подсхемы $\mathfrak{S}_{k+1;j}$ с каждым значимым выходом подсхемы $\mathfrak{S}_{k+1;j+1}$ (см. рис. 4). Следовательно, сложность такой подсхемы будет равна $2^{\lfloor m/2 \rfloor} \cdot 2^{\lceil m/2 \rceil} = 2^m$ (используются только элементы 2-CNOT).

Вернемся к общей схеме \mathfrak{S}_{CONJ} . Нам дано q дополнительных входов для хранения промежуточных значений. Разумнее всего потратить их для

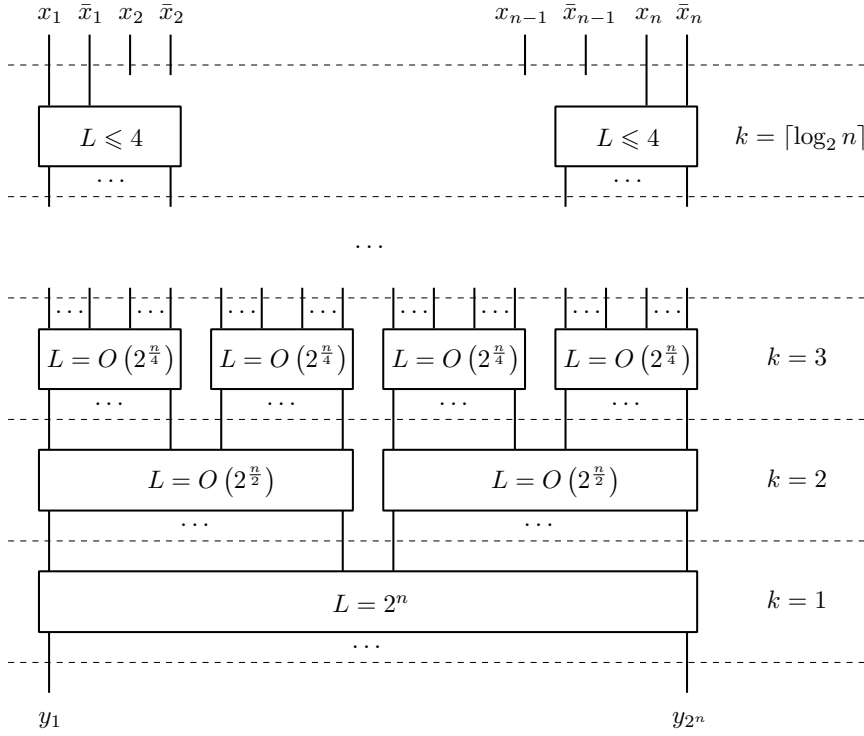


Рис. 3: Общая структура обратимой схемы $\mathfrak{S}_{CONJ(n,q)}$ (входы схемы сверху).

хранения значений на выходах подсхем самых высоких уровней, поскольку видно, что чем меньше уровень схемы \mathfrak{S}_{CONJ} , тем больше требуется дополнительных входов для хранения промежуточных значений.

Рассмотрим случай, когда мы имеем возможность хранить все промежуточные значения. Обозначим через L_k количество элементов на k -м уровне схемы. К примеру, $L_1 = 2^n$, $L_2 = 2^{\lfloor n/2 \rfloor} + 2^{\lceil n/2 \rceil}$.

Оценим значение L_k . Поскольку

$$\left\lceil \frac{n}{2} \right\rceil = \left\lfloor \frac{n+1}{2} \right\rfloor \leq \frac{n+1}{2},$$

то

$$L_2 \leq 2 \cdot \max\left(2^{\lfloor n/2 \rfloor}, 2^{\lceil n/2 \rceil}\right) = 2 \cdot 2^{\lceil n/2 \rceil} \leq 2 \cdot 2^{\frac{n}{2} + \frac{1}{2}}.$$

Отсюда следует, что

$$\begin{aligned} L_3 &\leq 4 \cdot 2^{\frac{n}{4} + \frac{1}{4} + \frac{1}{2}}, \\ L_4 &\leq 8 \cdot 2^{\frac{n}{8} + \frac{1}{8} + \frac{1}{4} + \frac{1}{2}}, \\ L_k &\leq 2^k \cdot 2^{n/2^{k-1}}. \end{aligned}$$

Ур.	Подсхема	Кол-во входов	Кол-во выходов	Подмножество переменных, для которых реализованы все конъюнкции
1	$\mathfrak{S}_{1;1}$	$2^3 + 2^4$	2^7	$\{x_1, \dots, x_7\}$
2	$\mathfrak{S}_{2;1}$	$2^1 + 2^2$	2^3	$\{x_1, x_2, x_3\}$
	$\mathfrak{S}_{2;2}$	$2^2 + 2^2$	2^4	$\{x_4, x_5, x_6, x_7\}$
3	$\mathfrak{S}_{3;1}$	2	2^1	$\{x_1\}$
	$\mathfrak{S}_{3;2}$	4	2^2	$\{x_2, x_3\}$
	$\mathfrak{S}_{3;3}$	4	2^2	$\{x_4, x_5\}$
	$\mathfrak{S}_{3;4}$	4	2^2	$\{x_6, x_7\}$

Таблица 1: Описание структуры обратимой схемы \mathfrak{S}_{CONJ} при $n = 7$.

Обозначим $\delta_k = 2^k \cdot 2^{n/2^{k-1}}$. Значение переменной k лежит в диапазоне $[1, \dots, K]$, $K = \lceil \log_2 n \rceil$, $k \in \mathbb{N}$. Сделаем переобозначение переменной: $k = K - s$, тогда $s = s(k) = K - k$. Если k обозначает номер уровня схемы при нумерации от выходов ко входам (снизу вверх), то $(s + 1)$ будет означать номер уровня схемы при нумерации от входов к выходам (сверху вниз). Значение переменной s лежит в диапазоне $[0, \dots, K - 1]$, $s \in \mathbb{Z}_+$. В этом случае

$$\delta_k = \frac{2^K}{2^s} \cdot 2^{(2n \cdot 2^s)/2^K} \leq \frac{2n}{2^s} \cdot 2^{2^{s+1}} = \Delta_s.$$

Следовательно, мы получили цепочку неравенств

$$L_k \leq \delta_k \leq \Delta_{s(k)} = \frac{2n}{2^s} \cdot 2^{2^{s+1}}.$$

Выпишем первые члены ряда $\{\Delta_{s(k)}\}$: $\{8n, 16n, 128n, \dots\}$. Видно, что с ростом s значение Δ_s растет все быстрее. Более того, можно утверждать, что для любого $s \geq 1$ верно соотношение

$$\sum_{i=0}^{s-1} \Delta_i \leq \frac{\Delta_s}{2}.$$

Отсюда следует, что

$$\begin{aligned} \sum_{i=0}^s \Delta_i &\leq \frac{3\Delta_s}{2}, \\ \sum_{i=K}^{K-s} L_i &\leq \frac{3n}{2^s} \cdot 2^{2^{s+1}}. \end{aligned} \quad (6)$$

Другими словами, сумма сложностей всех подсхем на последних $(s + 1)$ уровнях (при нумерации снизу вверх) не превышает $3n \cdot 2^{-s+2^{s+1}}$.

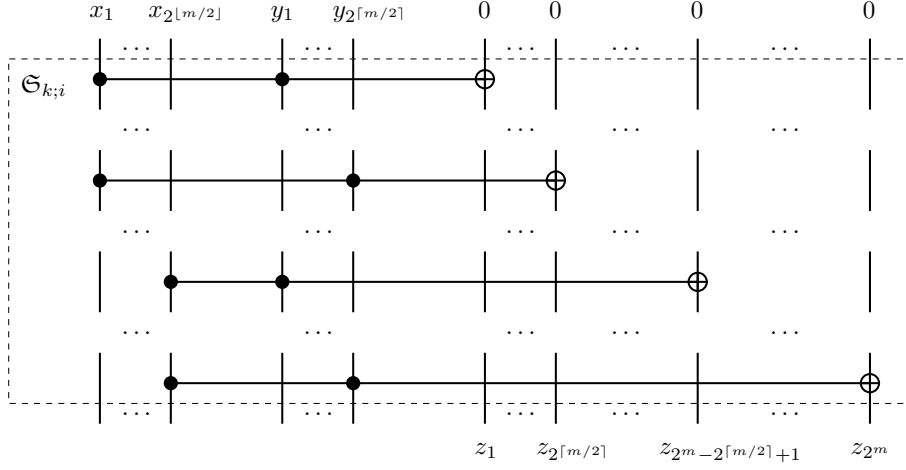


Рис. 4: Структура подсхемы $\mathfrak{S}_{k;i}$ обратимой схемы \mathfrak{S}_{CONJ} (входы схемы сверху).

Вернемся снова к общей схеме \mathfrak{S}_{CONJ} . Из рис. 2 видно, что для конструирования по мере необходимости одного значимого выхода схемы \mathfrak{S}_{CONJ} на первых r уровнях будет использовано не более $(1+2+4+\dots+2^{r-1}) = (2^r - 1)$ элементов 2-CNOT. Столько же функциональных элементов потребуется для обнуления значений на незначимых выходах. Следовательно, при условии, что количество уровней, для которых подсхемы надо конструировать по мере необходимости, не превышает r , верно соотношение

$$L_{CONJ}(n, q, t) \leq q + 2(2^r - 1) \cdot t \leq q + t \cdot 2^{r+1}. \quad (7)$$

Слагаемое q в данном соотношении, очевидно, следует из того факта, что для получения значения на одном выходе любой подсхемы $\mathfrak{S}_{k;i}$ требуется ровно один элемент 2-CNOT. Если мы можем хранить не более q промежуточных значений на выходах подсхем, то для их хранения потребуется не более q элементов 2-CNOT.

Нам требуется оценить значение r . Пусть для данного по условию задачи значения q выполняется неравенство

$$\frac{3n}{2^s} \cdot 2^{2^{s+1}} \leq q < \frac{3n}{2^{s+1}} \cdot 2^{2^{s+2}} \quad (8)$$

для некоторого значения $s \in [0, \dots, K - 1]$, $s \in \mathbb{Z}_+$. Тогда мы можем утверждать, что данного значения q достаточно для хранения значений на всех выходах подсхем на последних $(s + 1)$ уровнях при нумерации уровней снизу вверх (см. соотношение (6)), а количество первых уровней, для которых подсхемы нужно конструировать по мере необходимости, не превышает $(k - 1)$, поскольку $(s + 1) = K - (k - 1)$. Следовательно, $r \leq k - 1$. Из правого

неравенства соотношения (8) следует, что

$$\begin{aligned} \log_2 q &< \log_2 3 + \log_2 n - s - 1 + 2^{s+2}, \\ \frac{2^K}{2^k} = 2^s &> \frac{\log_2 q - (\log_2 3 + \log_2 n - s - 1)}{4}, \\ (\log_2 q - (\log_2 3 + \log_2 n - s - 1))2^k &< 4 \cdot 2^K, \\ K = \lceil \log_2 n \rceil, \quad s \geq 0 &\Rightarrow 2^k < \frac{8n}{\log_2 q - \log_2 n - 1} \text{ при } q > 2n. \end{aligned}$$

Поскольку $r + 1 \leq k$, то

$$2^{r+1} < \frac{8n}{\log_2 q - \log_2 n - 1} \text{ при } q > 2n. \quad (9)$$

Из этого неравенства и неравенства (7) следует оценка из утверждения Леммы

$$L_{CONJ}(n, q, t) \leq q + \frac{8nt}{\log_2 q - \log_2 n - 1}.$$

Ограничение $q \lesssim 2^n$ из утверждения Леммы связано с тем, что при значениях $q \gtrsim 2^n$ не наблюдается снижение сложности обратимой схемы для рассматриваемого способа синтеза. \square

Отметим, что по аналогии со схемой \mathfrak{S}_{CONJ} можно построить схему \mathfrak{S}_{XOR} , которая для заданных входов x_1, \dots, x_n реализует на своих значимых выходах значения $x_1 \wedge a_1 \oplus \dots \oplus x_n \wedge a_n$, $a_i \in \mathbb{Z}_2$. Для этого просто надо каждый элемент 2-CNOT в схеме \mathfrak{S}_{CONJ} заменить на два элемента CNOT. Следовательно,

$$\begin{aligned} L_{XOR}(n, q, t) &\leq 2q + \frac{16nt}{\log_2 q - \log_2 n - 1}, \\ Q_{XOR}(n, q, t) &\leq q + n - 1. \end{aligned}$$

Теперь мы можем доказать основную теорему данного раздела.

Теорема 1 (общая верхняя оценка сложности обратимой схемы с дополнительными входами). *Для любого значения $q > 8n$, $q \lesssim n2^{n - \lceil n / \phi(n) \rceil}$, где $\phi(n) \leq n / (\log_2 n + \log_2 \psi(n))$ и $\psi(n)$ – любые сколь угодно медленно растущие функции, верно соотношение*

$$L(n, q) \lesssim 2^n + \frac{8n2^n}{\log_2(q - 4n) - \log_2 n - 2}.$$

Доказательство. Опишем алгоритм синтеза \mathbf{A}_q , который является модификацией стандартного алгоритма О. Б. Лупанова и который предназначен для синтеза обратимых схем в условиях ограничения на количество используемых дополнительных входов.

Произвольное булево отображение $f: \mathbb{Z}_2^n \rightarrow \mathbb{Z}_2^n$ можно представить в виде некоторых n булевых функций $f_i: \mathbb{Z}_2^n \rightarrow \mathbb{Z}_2$ от n переменных

$$f(\mathbf{x}) = \langle f_1(\mathbf{x}), f_2(\mathbf{x}), \dots, f_n(\mathbf{x}) \rangle. \quad (10)$$

Каждую функцию $f_i(\mathbf{x})$ можно разложить по последним $(n - k)$ переменным:

$$f_i(\mathbf{x}) = \bigoplus_{a_{k+1}, \dots, a_n \in \mathbb{Z}_2} x_{k+1}^{a_{k+1}} \wedge \dots \wedge x_n^{a_n} \wedge f_i(\langle x_1, \dots, x_k, a_{k+1}, \dots, a_n \rangle). \quad (11)$$

Каждая из $n2^{n-k}$ булевых функций $f_i(\langle x_1, \dots, x_k, a_{k+1}, \dots, a_n \rangle)$, $1 \leq i \leq n$, является функцией от k переменных x_1, \dots, x_k , ее можно получить при помощи аналога СДНФ, в котором дизъюнкции заменяются на сложение по модулю два:

$$f_i(\langle x_1, \dots, x_k, a_{k+1}, \dots, a_n \rangle) = f_{i,j} = \bigoplus_{\substack{\sigma \in \mathbb{Z}_2^k \\ f_{i,j}(\sigma)=1}} x_1^{\sigma_1} \wedge \dots \wedge x_k^{\sigma_k}. \quad (12)$$

Все 2^k конъюнкций вида $x_1^{\sigma_1} \wedge \dots \wedge x_k^{\sigma_k}$ можно разделить на группы, в каждой из которых будет не более s конъюнкций. Обозначим через $p = \lceil 2^k / s \rceil$ количество таких групп. Используя конъюнкции одной группы, мы можем реализовать не более 2^s булевых функций по формуле (12). Обозначим через G_i множество булевых функций, которые могут быть реализованы при помощи конъюнкций i -й группы, $1 \leq i \leq p$. Тогда $|G_i| \leq 2^s$. Следовательно, мы можем переписать формулу (12) следующим образом:

$$f_i(\langle x_1, \dots, x_k, a_{k+1}, \dots, a_n \rangle) = \bigoplus_{\substack{t=1 \dots p \\ g_{j_t} \in G_t \\ 1 \leq j_t \leq |G_t|}} g_{j_t}(\langle x_1, \dots, x_k \rangle). \quad (13)$$

Отсюда следует, что

$$f_i(\mathbf{x}) = \bigoplus_{a_{k+1}, \dots, a_n \in \mathbb{Z}_2} \left(\bigoplus_{\substack{t=1 \dots p \\ g_{j_t} \in G_t \\ 1 \leq j_t \leq |G_t|}} x_{k+1}^{a_{k+1}} \wedge \dots \wedge x_n^{a_n} \wedge g_{j_t}(\langle x_1, \dots, x_k \rangle) \right). \quad (14)$$

Общая структура обратимой схемы \mathfrak{S}_f , которая реализует отображение f и которая синтезируется алгоритмом \mathbf{A}_q , показана на рис. 5.

Сперва реализуем отрицания для всех входных значений x_1, \dots, x_n со сложностью $2n$ (по элементу NOT и CNOT на каждый вход), задействовав n дополнительных входов.

Разобьем множество значимых входов схемы x_1, \dots, x_n на две группы: $\{x_1, \dots, x_k\}$ и $\{x_{k+1}, \dots, x_n\}$. Первую группу входов вместе с их отрицаниями подадим на подсхему $\mathfrak{S}_1 = \mathfrak{S}_{CONJ(k, q_1)}$ для реализации некоторых

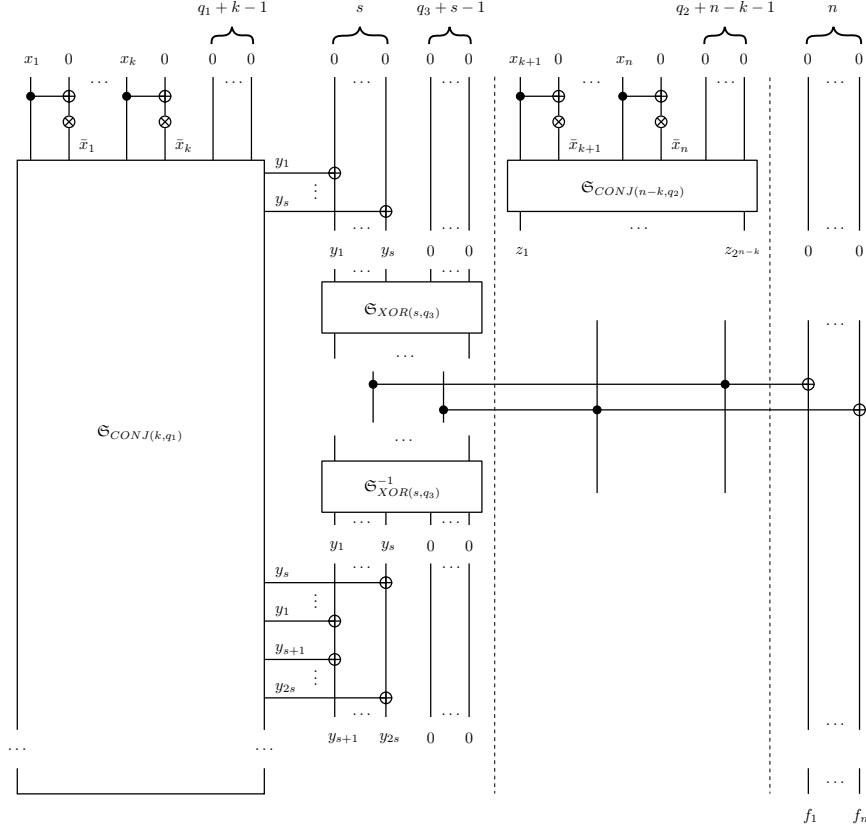


Рис. 5: Структура обратимой схемы \mathfrak{S}_f , реализующей отображение $f: \mathbb{Z}_2^n \rightarrow \mathbb{Z}_2^n$ в условиях ограничения на количество используемых дополнительных входов (входы схемы сверху).

t_1 конъюнкций $x_1^{a_1} \wedge \dots \wedge x_k^{a_k}$, $a_i \in \mathbb{Z}_2$, отведя данной подсхеме q_1 дополнительных входов для хранения промежуточных значений. Вторую группу входов вместе с их отрицаниями подадим на подсхему $\mathfrak{S}_2 = \mathfrak{S}_{CONJ}(n-k, q_2)$ для реализации некоторых t_2 конъюнкций $x_{k+1}^{a_{k+1}} \wedge \dots \wedge x_n^{a_n}$, $a_i \in \mathbb{Z}_2$, отведя данной подсхеме q_2 дополнительных входов для хранения промежуточных значений.

Будем реализовывать все 2^k различных конъюнкций на значимых выходах подсхемы \mathfrak{S}_1 последовательно. Полученные значения будем хранить, используя дополнительные входы. Как только будут получены очередные s конъюнкций, соответствующие им s значимых выходов подаем на значимые входы подсхемы $\mathfrak{S}_{3;i} = \mathfrak{S}_{XOR}(s, q_3)$ для получения значений некоторых t_3 функций от переменных x_1, \dots, x_k , отведя данной подсхеме q_3 дополнительных входов для хранения промежуточных значений. Всего будет не

более $p = \lceil 2^k / s \rceil$ различных подсхем $\mathfrak{S}_{3;i}$. Как только работа с очередной подсхемой $\mathfrak{S}_{3;i}$ будет закончена, значение на q_3 незначимых выходах обнуляем, применяя те же самые функциональные элементы, что и для получения подсхемы, но в обратном порядке. Затем обнуляем значения на s значимых выходах, служивших значимыми входами подсхеме $\mathfrak{S}_{3;i}$, реализуя еще раз полученные ранее s конъюнкций при помощи подсхемы \mathfrak{S}_1 (см. рис. 5). Тем самым мы сможем не увеличивать количество используемых дополнительных входов, а использовать одни и те же дополнительные входы, увеличивая однако при этом сложность соответствующих подсхем в два раза.

Из формулы (14) следует, что имея значения некоторого значимого выхода подсхемы \mathfrak{S}_2 и некоторого значимого выхода подсхемы $\mathfrak{S}_{3;i}$, мы можем реализовать одно слагаемое во внутренней скобке, используя ровно один элемент 2-CNOT, контролируемый выход которого будет одним из n значимых выходов нашей конструируемой схемы \mathfrak{S}_f (см. рис. 5). Рассматриваемое нами отображение f имеет n выходов, количество групп конъюнкций от первых k переменных x_1, \dots, x_k равно p , количество различных конъюнкций от последних $(n-k)$ переменных x_{k+1}, \dots, x_n равно 2^{n-k} . Следовательно, схемная сложность реализации функции f_i по формуле (14) равна $p2^{n-k}$, а отображения f в целом равна $L_4 = pn2^{n-k}$, при этом потребуется ровно n дополнительных входов для хранения выходных значений отображения f .

Таким образом, мы можем вывести неравенство для $L(f, q)$ следующего вида:

$$L(f, q) = 2n + L_{CONJ}(k, q_1, t_1) + L_{CONJ}(n-k, q_2, t_2) + 2p \cdot L_{XOR}(s, q_3, t_3) + pn2^{n-k}, \quad (15)$$

и для $Q(\mathfrak{S}_f)$ следующего вида:

$$Q(\mathfrak{S}_f) = q = n + Q_{CONJ}(k, q_1, t_1) + Q_{CONJ}(n-k, q_2, t_2) + Q_{XOR}(s, q_3, t_3) + n. \quad (16)$$

Отметим, что каждая из 2^k различных конъюнкций на значимых выходах подсхемы \mathfrak{S}_1 будет получена ровно два раза, следовательно, $t_1 = 2^{k+1}$.

Поскольку каждый значимый выход подсхемы \mathfrak{S}_2 используется в качестве входа для pn элементов 2-CNOT, а значимый выход подсхемы $\mathfrak{S}_{3;i}$ может использоваться в качестве входа для 2^{n-k} элементов 2-CNOT, возникает два различных способа конструирования нашей искомой схемы \mathfrak{S}_f :

1. В первом случае мы минимизируем значение t_2 : для каждой группы конъюнкций от первых k переменных x_1, \dots, x_k мы один раз конструируем очередной значимый выход подсхемы \mathfrak{S}_2 , а затем конструируем для него n значимых выходов подсхемы $\mathfrak{S}_{3;i}$. Тогда можно утверждать, что $t_2 = p2^{n-k}$, $t_3 \leq n2^{n-k}$.

2. Во втором случае мы минимизируем значение t_3 : для каждой группы конъюнкций от первых k переменных x_1, \dots, x_k мы один раз конструируем очередной значимый выход подсхемы $\mathfrak{S}_{3;i}$, а затем конструируем для него нужные значимые выходы подсхемы \mathfrak{S}_2 . Таких выходов может быть один, а может быть и 2^{n-k} . Однако мы точно можем утверждать, что $t_2 \leq pn2^{n-k}$, $t_3 \leq 2^s$.

Оценим в общем случае значение $L(f, q)$:

$$L(f, q) \leq 2n + pn2^{n-k} + q_1 + q_2 + 4pq_3 + \frac{8k2^{k+1}}{\log_2 q_1 - \log_2 k - 1} + \\ + \frac{8(n-k)t_2}{\log_2 q_2 - \log_2(n-k) - 1} + \frac{32pst_3}{\log_2 q_3 - \log_2 s - 1}.$$

Будем искать такие значения k и s , что $p = \lceil 2^k / s \rceil \sim 2^k / s$. Тогда

$$L(f, q) \lesssim 2n + \frac{n2^n}{s} + q_1 + q_2 + \frac{4q_32^k}{s} + \frac{8k2^{k+1}}{\log_2 q_1 - \log_2 k - 1} + \\ + \frac{8(n-k)t_2}{\log_2 q_2 - \log_2(n-k) - 1} + \frac{32t_32^k}{\log_2 q_3 - \log_2 s - 1}.$$

1. Пусть $t_2 = p2^{n-k} \sim 2^n / s$, $t_3 \leq n2^{n-k}$. В этом случае

$$L(f, q) \lesssim 2n + \frac{n2^n}{s} + q_1 + q_2 + \frac{4q_32^k}{s} + \frac{8k2^{k+1}}{\log_2 q_1 - \log_2 k - 1} + \\ + \frac{8 \cdot 2^n}{\log_2 q_2 - \log_2(n-k) - 1} + \frac{32n2^n}{\log_2 q_3 - \log_2 s - 1}. \quad (17)$$

Положим $s = n - k$, $k = \lceil n / \phi(n) \rceil$, где $\phi(n) \leq n / (\log_2 n + \log_2 \psi(n))$ и $\psi(n)$ — любые сколь угодно медленно растущие функции. В этом случае будет верно неравенство $2^k / s \geq \psi(n)$.

Поскольку $q_3 \lesssim 2^s$ и $q_2 < q \lesssim n2^{n-\lceil n / \phi(n) \rceil}$, то $q_2 = o(2^n)$ и верно соотношение

$$2n + \frac{n2^n}{s} + q_2 + \frac{4q_32^k}{s} \lesssim 2n + \frac{n2^n}{n - o(n)} + q_2 + \frac{2^{n+2}}{n - o(n)} \lesssim 2^n. \quad (18)$$

Положим $q_1 = 0$, $q_2 = q_3$. Согласно формуле (2), $L_{CONJ}(n, 0, t) \leq 2(n-1)t$, следовательно, мы можем заменить в соотношении (17) сложность подсхемы \mathfrak{S}_1 на $k2^{k+2}$:

$$L(f, q) \lesssim 2^n + k2^{k+2} + \frac{8 \cdot 2^n}{\log_2 q_2 - \log_2(n-k) - 1} + \frac{32n2^n}{\log_2 q_3 - \log_2 s - 1}.$$

Очевидно, что $k2^{k+2} = 4\lceil n / \phi(n) \rceil \cdot 2^{\lceil n / \phi(n) \rceil} = o(2^n)$ и $8 \cdot 2^n / (\log_2 q_3 - \log_2 s - 1) = o(32n2^n / (\log_2 q_3 - \log_2 s - 1))$, поэтому верно соотношение

$$L(f, q) \lesssim 2^n + \frac{32n2^n}{\log_2 q_3 - \log_2 s - 1}.$$

Согласно Лемме 1, $Q_{CONJ}(n, q, t) \leq q + n - 1$, поэтому соотношение (16) можно переписать в виде

$$q \leq n + k - 1 + q_2 + n - k - 1 + q_3 + s - 1 + n = 4n - k + 2q_3 - 3 < 4n + 2q_3. \quad (19)$$

Следовательно, $\log_2 q_3 > \log_2(q - 4n) - 1$. Отсюда получаем соотношение

$$L(f, q) \lesssim 2^n + \frac{32n2^n}{\log_2(q - 4n) - \log_2 n - 2},$$

которое верно при $\log_2(q - 4n) > \log_2 n + 2 \Rightarrow q > 8n$.

2. Пусть $t_2 \leq pn2^{n-k} \sim n2^n / s$, $t_3 \leq 2^s$. В этом случае

$$\begin{aligned} L(f, q) \lesssim 2n + \frac{n2^n}{s} + q_1 + q_2 + \frac{4q_32^k}{s} + \frac{8k2^{k+1}}{\log_2 q_1 - \log_2 k - 1} + \\ + \frac{8n2^n}{\log_2 q_2 - \log_2(n - k) - 1} + \frac{32 \cdot 2^n}{\log_2 q_3 - \log_2 s - 1}. \quad (20) \end{aligned}$$

Как и в первом способе, положим $s = n - k$, $k = \lceil n / \phi(n) \rceil$, где $\phi(n) \leq n / (\log_2 n + \log_2 \psi(n))$ и $\psi(n)$ — любые сколь угодно медленно растущие функции; $q_1 = 0$, $q_2 = q_3$. Тогда из рассуждений, приведенных при описании первого способа, следует соотношение

$$L(f, q) \lesssim 2^n + \frac{8n2^n}{\log_2 q_2 - \log_2(n - k) - 1} + \frac{32 \cdot 2^n}{\log_2 q_3 - \log_2 s - 1}.$$

Очевидно, что $32 \cdot 2^n / (\log_2 q_2 - \log_2(n - k) - 1) = o(8n2^n / (\log_2 q_2 - \log_2(n - k) - 1))$, поэтому верно соотношение

$$L(f, q) \lesssim 2^n + \frac{8n2^n}{\log_2 q_2 - \log_2(n - k) - 1}.$$

Поскольку $\log_2 q_3 > \log_2(q - 4n) - 1$, то и $\log_2 q_2 > \log_2(q - 4n) - 1$. Отсюда получаем соотношение

$$L(f, q) \lesssim 2^n + \frac{8n2^n}{\log_2(q - 4n) - \log_2 n - 2},$$

которое верно при $\log_2(q - 4n) > \log_2 n + 2 \Rightarrow q > 8n$.

Видно, что второй способ синтеза асимптотически лучше первого.

Поскольку мы описали алгоритм синтеза обратимой схемы для произвольного отображения f , то

$$L(n, q) \leq L(f, q) \lesssim 2^n + \frac{8n2^n}{\log_2(q - 4n) - \log_2 n - 2}$$

при $q > 8n$. При значениях $q \gtrsim n2^{n - \lceil n / \phi(n) \rceil}$ не наблюдается снижение сложности обратимой схемы для рассматриваемого способа синтеза. \square

3 Зависимость глубины обратимой схемы от количества дополнительных входов

Из доказательства Теоремы 1 также можно получить верхнюю оценку для функции $D(n, q)$ в случае $q > 8n$, $q \lesssim n2^{n-o(n)}$, но для этого необходимо сперва доказать вспомогательную лемму.

Лемма 2. *Для любого значения $q > 2n$, $q \lesssim 2^n$ верны соотношения*

$$\begin{aligned} D_{CONJ}(n, q, t) &\leq q + 2t(2 + \log_2 n - \log_2(\log_2 q - \log_2 n - 1)) . \\ D_{CONJ}(n, 0, t) &\leq 2t \cdot \lceil \log_2 n \rceil . \end{aligned}$$

Доказательство. Рассмотрим схему $\mathfrak{S}_{CONJ(n, q)}$ из Леммы 1. Согласно формуле (7), верно неравенство $L_{CONJ}(n, q, t) \leq q + 2t \cdot 2^r$. Промежуточные значения, хранимые на q дополнительных входах, можно получить с глубиной не более q . Также очевидно, что сконструировать по мере необходимости один значимый выход схемы \mathfrak{S}_{CONJ} на первых r уровнях можно с глубиной r , см. рис. 2. Отсюда следует, что

$$D_{CONJ}(n, q, t) \leq q + 2tr .$$

Согласно формуле (9), при $q > 2n$ верно неравенство

$$2^r < \frac{4n}{\log_2 q - \log_2 n - 1} ,$$

откуда следует, что

$$\begin{aligned} r &< 2 + \log_2 n - \log_2(\log_2 q - \log_2 n - 1) , \\ D_{CONJ}(n, q, t) &\leq q + 2t(2 + \log_2 n - \log_2(\log_2 q - \log_2 n - 1)) . \end{aligned}$$

Соотношение $D_{CONJ}(n, 0, t) \leq 2t \cdot \lceil \log_2 n \rceil$ следует из соотношения (2) и того факта, что сконструировать одну конъюнкцию $x_1^{a_1} \wedge \dots \wedge x_n^{a_n}$ можно с логарифмической глубиной $\lceil \log_2 n \rceil$. \square

Аналогично, для обратимой схемы $\mathfrak{S}_{XOR(n, q)}$ верно неравенство

$$D_{XOR}(n, q, t) = 2D_{CONJ}(n, q, t) \leq 2q + 4t(2 + \log_2 n - \log_2(\log_2 q - \log_2 n - 1))$$

для любого значения $q > 2n$, $q \lesssim 2^n$.

Итак, докажем последнюю теорему данной работы.

Теорема 2 (общая верхняя оценка глубины обратимой схемы с дополнительными входами). *Для любого значения $q > 8n$, $q \lesssim n2^{n-\lceil n/\phi(n) \rceil}$, где $\phi(n) \leq n/(\log_2 n + \log_2 \psi(n))$ и $\psi(n)$ — любые сколь угодно медленно растущие функции, верно соотношение*

$$D(n, q) \lesssim 2^{n+1}(2, 5 + \log_2 n - \log_2(\log_2(q - 4n) - \log_2 n - 2)) .$$

Доказательство. Рассмотрим обратимую схему \mathfrak{S}_f из доказательства Теоремы 1, синтезированную алгоритмом \mathbf{A}_q . Из соотношения (15) можно вывести аналогичное соотношение для глубины $D(f, q)$ вида

$$D(f, q) = 2 + D_{CONJ}(k, q_1, t_1) + D_{CONJ}(n - k, q_2, t_2) + 2p \cdot D_{XOR}(s, q_3, t_3) + pn2^{n-k}.$$

Положим $s = n - k$, $k = \lceil n / \phi(n) \rceil$, где $\phi(n) \leq n / (\log_2 n + \log_2 \psi(n))$ и $\psi(n)$ — любые сколь угодно медленно растущие функции. В этом случае будут верны соотношения $p \sim 2^k / s \geq \psi(n)$ и $pn2^{n-k} \sim n2^n / s \sim 2^n$.

Положим $q_1 = 0$. Поскольку $t_1 = 2^{k+1}$, то

$$D_{CONJ}(k, q_1, t_1) \leq 2t_1 \cdot \lceil \log_2 k \rceil \leq \lceil \log_2 \lceil n / \phi(n) \rceil \rceil \cdot 2^{\lceil n / \phi(n) \rceil + 2} = o(2^n).$$

Таким образом, верно соотношение

$$D(f, q) \lesssim 2^n + D_{CONJ}(n - k, q_2, t_2) + \frac{2^{k+1}}{s} \cdot D_{XOR}(s, q_3, t_3).$$

Рассмотрим те же два случая для t_2 и t_3 , что и на с. 13.

1. Пусть $t_2 = p2^{n-k} \sim 2^n / s$, $t_3 \leq n2^{n-k}$. В этом случае

$$D_{CONJ}(n - k, q_2, t_2) \leq q_2 + \frac{2^{n+1}}{s} (2 + \log_2 s - \log_2(\log_2 q_2 - \log_2 s - 1)),$$

$$D_{XOR}(s, q_3, t_3) \leq 2q_3 + n2^{n-k+2} (2 + \log_2 s - \log_2(\log_2 q_3 - \log_2 s - 1)).$$

Положим $q_2 = q_3$. Обозначим $d = 2 + \log_2 s - \log_2(\log_2 q_2 - \log_2 s - 1)$, тогда

$$D(f, q) \lesssim 2^n + q_2 + \frac{d2^{n+1}}{s} + \frac{q_3 2^{k+2}}{s} + \frac{dn2^{n+3}}{s}.$$

Согласно формуле (18), верно соотношение

$$2^n + q_2 + \frac{4q_3 2^k}{s} \lesssim 2^n.$$

Отсюда получаем, что

$$D(f, q) \lesssim 2^n + \frac{dn2^{n+3}}{s} \lesssim 2^n + 2^{n+3} (2 + \log_2 n - \log_2(\log_2 q_3 - \log_2 n - 1)).$$

Из соотношения (19) следует, что $\log_2 q_3 > \log_2(q - 4n) - 1$. Таким образом, получаем итоговую оценку сверху вида

$$D(f, q) \lesssim 2^n (17 + 8(\log_2 n - \log_2(\log_2(q - 4n) - \log_2 n - 2))),$$

которая верна при $\log_2(q - 4n) > \log_2 n + 2 \Rightarrow q > 8n$.

2. Пусть $t_2 \leq pn2^{n-k} \sim n2^n / s$, $t_3 \leq 2^s$. В этом случае

$$D_{CONJ}(n-k, q_2, t_2) \leq q_2 + \frac{n2^{n+1}}{s}(2 + \log_2 s - \log_2(\log_2 q_2 - \log_2 s - 1)),$$

$$D_{XOR}(s, q_3, t_3) \leq 2q_3 + 2^{s+2}(2 + \log_2 s - \log_2(\log_2 q_3 - \log_2 s - 1)).$$

Положим $q_2 = q_3$. Обозначим $d = 2 + \log_2 s - \log_2(\log_2 q_2 - \log_2 s - 1)$, тогда

$$D(f, q) \lesssim 2^n + q_2 + \frac{dn2^{n+1}}{s} + \frac{q_3 2^{k+2}}{s} + \frac{d2^{n+3}}{s}.$$

Согласно формуле (18), верно соотношение

$$2^n + q_2 + \frac{4q_3 2^k}{s} \lesssim 2^n.$$

Отсюда получаем, что

$$D(f, q) \lesssim 2^n + \frac{dn2^{n+1}}{s} \lesssim 2^n + 2^{n+1}(2 + \log_2 n - \log_2(\log_2 q_2 - \log_2 n - 1)).$$

Из соотношения (19) следует, что $\log_2 q_2 > \log_2(q - 4n) - 1$. Таким образом, получаем итоговую оценку сверху вида

$$D(f, q) \lesssim 2^{n+1}(2, 5 + \log_2 n - \log_2(\log_2(q - 4n) - \log_2 n - 2)),$$

которая верна при $\log_2(q - 4n) > \log_2 n + 2 \Rightarrow q > 8n$.

Видно, что второй способ синтеза асимптотически лучше первого.

Поскольку мы описали алгоритм синтеза обратимой схемы для произвольного отображения f , то

$$D(n, q) \leq D(f, q) \lesssim 2^{n+1}(2, 5 + \log_2 n - \log_2(\log_2(q - 4n) - \log_2 n - 2))$$

при $q > 8n$. □

При увеличении количества дополнительных входов с $q \sim n2^{n-o(n)}$ до $q \sim 2^n$ верхняя асимптотическая оценка функции $D(n, q)$ снижается с экспоненциальной до линейной, см. соотношение (1). Однако выведение зависимости верхней оценки функции $D(n, q)$ от q для диапазона $n2^{n-o(n)} \lesssim q \lesssim 2^n$ выходит за рамки данной работы.

Заключение

В данной работе были рассмотрены обратимые схемы, состоящие из функциональных элементов NOT, CNOT и 2-CNOT и имеющие различное число дополнительных входов q . Были изучены функции Шеннона сложности

$L(n, q)$ и глубины $D(n, q)$ обратимой схемы, реализующей какое-либо отображение $\mathbb{Z}_2^n \rightarrow \mathbb{Z}_2^n$ в условиях ограничения на значение q . Были доказаны верхние оценки для функций $L(n, q)$ и $D(n, q)$ для диапазона $8n < q \lesssim n2^{n-o(n)}$. Из полученных соотношений можно сделать вывод, что использование дополнительной памяти в обратимых схемах, состоящих из элементов NOT, CNOT и 2-CNOT, почти всегда позволяет существенно снизить сложность и глубину таких схем.

Список литературы

- [1] С.Е. Shannon, “The synthesis of two-terminal switching circuits”, *Bell System Technical Journal*, **28**:8 (1949), 59–98.
- [2] О.Б. Лупанов, “Об одном методе синтеза схем”, *Изв. вузов. Радиофизика*. 1958. Т. 1, № 1. С. 23–26.
- [3] О.Б. Лупанов, “О схемах из функциональных элементов с задержками” *Проблемы кибернетики, вып. 23*, Наука, М., 1970, 43–81.
- [4] Н.А. Карпова, “О вычислениях с ограниченной памятью”, *Математические вопросы кибернетики, вып. 2*, Наука, М., 1989, 131–144.
- [5] R. Feynman, “Quantum Mechanical Computers”, *Optic News*, **11**:2 (1985), 11–20. DOI: [10.1364/ON.11.2.000011](https://doi.org/10.1364/ON.11.2.000011).
- [6] D. A. Maslov, *Reversible Logic Synthesis*, Ph. D. Thesis, University of New Brunswick Fredericton, N. B., Canada, 2003, 165 pp.
- [7] V.V. Shende, A.K. Prasad, I.L. Markov, J.P. Hayes, “Synthesis of Reversible Logic Circuits”, *IEEE Transactions on Computer-Aided Design of Integrated Circuits and Systems*, **22**:6 (2006), 710–722. DOI: [10.1109/TCAD.2003.811448](https://doi.org/10.1109/TCAD.2003.811448).
- [8] Д.В. Закаблукон, “О сложности обратимых схем, состоящих из функциональных элементов NOT, CNOT и 2-CNOT”, *Дискретная математика*, 2016. Т. 28, № 2. С. 12–26.
- [9] Д.В. Закаблукон, “Оценка глубины обратимых схем из функциональных элементов NOT, CNOT и 2-CNOT”, *Вестник Московского университета, серия «Математика. Механика»*, 2016, № 3. С. 3–12.